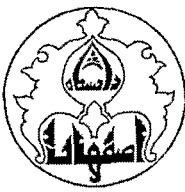


١٤٢٩



دانشگاه اصفهان

دانشکده علوم

گروه شیمی

پایان نامه‌ی کارشناسی ارشد رشته‌ی شیمی گرایش معدنی

سنتر، شناسایی و خواص فتوشیمیایی کمپلکس‌های مس و نیکل، با لیگاندهای مشتق
شده از آزو-دی‌آمینو پروپان

استاد راهنما:

دکتر محمد حسین حبیبی

پژوهشگر:

مریم میخک

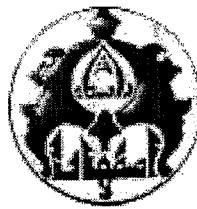
۱۴۰۱/۱۶۱

بهمن ماه ۱۳۸۶

۱۰۲۷۵۹

کلیه حقوق مادی مترتب بر نتایج مطالعات، ابتكارات و
نوآوری های ناشی از تحقیق موضوع این پایان نامه متعلق
به دانشگاه اصفهان است.

پایان نامه کارشناسی ارشد
دانشکده علوم پایه دانشگاه اصفهان
تشریف شده است



دانشگاه اصفهان

دانشکده علوم

گروه شیمی

پایان نامه‌ی کارشناسی ارشد رشته‌ی شیمی گرایش معدنی

خانم مریم میخک

تحت عنوان

سنتز، شناسایی و خواص فتوشیمیایی کمپلکس‌های مس و نیکل، با لیگاندهای مشتق

شده از ۱۰۲-دی‌آمینو پروپان

۷

در تاریخ ۱۳۹۵/۱۱/۱۱ توسط هیأت داوران زیر بررسی و با درجهممتاز به تصویب نهایی رسید.

امضا

۱- استاد راهنمای پایان نامه دکتر محمد حسین حبیبی با مرتبه‌ی علمی استاد

امضا

۲- استاد داور داخل گروه دکتر شهرام تنگستانی نژاد با مرتبه‌ی علمی دانشیار

امضا

۴- استاد داور خارج از گروه دکتر حسن حدادزاده با مرتبه‌ی علمی دانشیار

امضای مدیر گروه

دکتر ولی الله میرخانی

چکیده

بازهای شیف و کمپلکس‌های آن‌ها به دلیل داشتن خواص کاتالیزوری، خاصیت کریستال مایع، خواص دارویی و نیز به عنوان مدلی برای آنزیم‌ها جهت بررسی ساختار، ماهیت و عملکرد آن‌ها در سیستم‌های بیولوژیکی مورد توجه شیمیدانان قرار گرفته‌اند. لذا سنتز و بررسی ویژگی‌های ساختاری و اسپکتروسکوپی آن‌ها در شیمی کوئردنیاسیون مورد توجه می‌باشد.

در این تحقیق لیگاندهای جدید باز شیف دودندانهای N,N' -بیس(۳-نیتروبنزآلدهید)-۱ و ۲- پروپان دی‌ایمین $-N,N',N.(nb_2pn)$ -بیس (۴-متوكسی بنزآلدهید)-۱ و ۲- سیکلوهگزان دی‌ایمین (nb_2cn) و $-N,N',N.(nb_2pn)$ -بیس (۴-امینوبنزوکسی بنزآلدهید)-۱ و ۲- پروپان دی‌ایمین (db_2pn) و نیز لیگاندهای چهاردندانهای N,N',N -بیس (۲-هیدروکسی ۳-متوكسی بنزآلدهید)-۱ و ۲- پروپان دی‌ایمین ($h3mb_2pn$) $-N,N',N$ -بیس (۲-هیدروکسی ۴-متوكسی بنزآلدهید)-۱ و ۲- پروپان دی‌ایمین ($h5mb_2pn$) -ایمین ($h4mb_2pn$) $-N,N',N$ -بیس (۲-هیدروکسی ۵-متوكسی بنزآلدهید)-۱ و ۲- پروپان دی‌ایمین ($h6mb_2pn$) و کمپلکس جدید مس، بیس (- N,N',N -بیس (۲-هیدروکسی ۶-متوكسی بنزآلدهید)-۱ و ۲- پروپان دی‌آمین) مس(I) دی‌یدید مس(I) از لیگاند (nb_2pn) (۳-نیتروبنزآلدهید)-۱ و ۲- پروپان دی‌آمین) مس(I) دی‌یدید مس(I) از لیگاند (nb_2pn) همچنان، کمپلکس‌های جدید [Cu(nb_2pn)₂][CuI₂] از لیگاندهای چهاردندانهای ($h4mb_2pn$), ($h5mb_2pn$) و ($h6mb_2pn$) سنتز و خالص سازی گردیدند و با استفاده از تکنیک‌های طیف‌سنجی مادون قرمز، ماوراء بنفش - مرئی، روزنанс مغناطیسی هسته پروتون و پراش پرتو X تک بلور مورد بررسی و شناسایی قرار گرفتند. کمپلکس سه هسته‌ای بیس [کلورو بیس(تری‌فنیل‌فسفین) مس(I)-مو-کلرو] بیس (۱ و ۲- پروپان دی‌آمین) مس(II) نیز سنتز و توسط تکنیک پراش پرتو X تک بلور مورد شناسایی قرار گرفت.

در ادامه این تحقیق رفتار فتوشیمیایی لیگاندهای (nb_2pn), ($h3mb_2pn$), (db_2pn), (nb_2cn), (nb_2pn) و کمپلکس‌های [Cu($h5mb_2pn$)], [Cu($h4mb_2pn$)], [Ni($h6mb_2pn$)] و [Ni($h4mb_2pn$)] و رفتار گرمایی و ولتاوموگرام چرخه‌ای برخی از کمپلکس‌ها مورد بررسی قرار گرفت.

واژه‌های کلیدی: بازهای شیف، پراش پرتو X تک بلور، رفتار فتوشیمیایی

فهرست مطالب

| صفحه | عنوان |
|------|---|
| | فصل اول مقدمه و تئوري |
| ۱ | ۱-۱-۱- مقدمه |
| ۲ | ۱-۱-۱- بازهای شیف و کمپلکس‌های آن‌ها |
| ۲ | ۱-۲-۱- بازهای شیف دو دندانه‌ای (لیگاندهای با اتم دهنده N و O) |
| ۳ | ۱-۳-۱- بازهای شیف سه دندانه‌ای |
| ۴ | ۱-۴-۱- بازهای شیف چهار دندانه‌ای |
| ۴ | ۱-۲- کمپلکس‌های سالن |
| ۵ | ۱-۲-۱- جنبه‌های عمومی از کمپلکس‌های سالن |
| ۶ | ۱-۲-۲- کمپلکس‌های سالن فلزات واسطه |
| ۸ | ۱-۳- کمپلکس‌های مارپیچی (Helix) |
| ۹ | ۱-۴- مس و کمپلکس‌های آن |
| ۱۱ | ۱-۴-۱- حالت‌های اكسايش (I) و (II) از مس |
| ۱۲ | ۱-۵- نیكل و کمپلکس‌های آن |
| ۱۴ | ۱-۶- مقدمه‌اي بر فتوشيمى ترکيبات كثورديناسيون |
| ۱۶ | ۱-۷- چگونگي تشكيل پيوند در ترکيبات كثورديناسيون |
| ۱۶ | ۱-۷-۱- نظريه ميدان بلور (CFT) |
| ۱۷ | ۱-۷-۲- نظريه ميدان ليگاند (LFT) |
| ۱۸ | ۱-۷-۳- نظريه اوربيتال ملکولي |
| ۲۱ | ۱-۴-۷- مدل همپوشاني زاويه‌اي |
| ۲۲ | ۱-۸- طيف الکتروني ترکيبات كثورديناسيون |
| ۲۴ | ۱-۹- فرائيند حالت برايگيخته |
| ۲۴ | ۱-۱۰- فرائيندهای فتوفيزيکي |
| ۲۶ | ۱-۱۱- فتوجانشيني ترکيبات كثورديناسيون |
| ۲۷ | ۱-۱۱-۱- مدل آدامسون |
| ۲۷ | ۱-۱۱-۲- مدل زينك |
| ۲۸ | ۱-۱۱-۳- مدل ون کوييكن بورن |

| عنوان | | صفحه |
|---|----|------|
| ۱۲-۱- تبدیل ایزومری سین- آنتی به روش های فتوشیمیایی..... | ۲۸ | |
| ۱۳-۱- تبدیل ایزومری انول- کتو به روش های فتوشیمیایی | ۳۱ | |
| ۱۴-۱- توصیف پدیده کرومومتروپیک..... | ۳۲ | |
| ۱۵-۱- مقدمه‌ای بر پراش پرتو X تک بلور..... | ۳۳ | |
| ۱۵-۱-۱- هفت سیستم بلورشناسی..... | ۳۴ | |
| ۱۵-۱-۲- شبکه‌ی براوه..... | ۳۴ | |
| ۱۵-۱-۳- رده‌های تقارن..... | ۳۵ | |
| ۱۵-۱-۴- محورهای حلزونی یا پیچشی..... | ۳۵ | |
| ۱۵-۱-۵- سطح تقارن انتقالی..... | ۳۶ | |
| ۱۵-۱-۶- گروه فضایی..... | ۳۶ | |
| فصل دوم بخش تجربی | | |
| ۱-۲- مواد شیمیایی و حلال‌های مورد استفاده | ۳۸ | |
| ۲-۲- دستگاهها و وسایل مورد استفاده..... | ۳۹ | |
| ۳-۲- سنتز لیگاندها و کمپلکس‌ها | ۴۱ | |
| ۳-۲-۱- سنتز لیگاند دو دندانه‌ای nb_2pn | ۴۱ | |
| ۳-۲-۲- سنتز کمپلکس $[Cu(nb_2pn)_2][CuI_2]$ | ۴۲ | |
| ۳-۳-۲- سنتز لیگاند دودنده‌ای nb_2cn | ۴۳ | |
| ۴-۳-۲- سنتز لیگاند دودنده‌ای db_2pn | ۴۴ | |
| ۵-۳-۲- سنتز لیگاند چهار دندانه‌ای $h3mb_2pn$ | ۴۵ | |
| ۶-۳-۲- سنتز لیگاندهای چهار دندانه‌ای $(h6mb_2pn)$, $(h5mb_2pn)$, $(h4mb_2pn)$ | ۴۶ | |
| ۷-۳-۲- سنتز کمپلکس $[Ni(h4mb_2pn)]$ | ۴۶ | |
| ۸-۳-۲- سنتز کمپلکس $[Cu(h4mb_2pn)]$ | ۴۷ | |
| ۹-۳-۲- سنتز کمپلکس $[Ni(h5mb_2pn)]$ | ۴۸ | |
| ۱۰-۳-۲- سنتز کمپلکس $[Cu(h5mb_2pn)].CH_3OH$ | ۴۹ | |
| ۱۱-۳-۲- سنتز کمپلکس $[Ni(h6mb_2pn)]$ | ۵۰ | |
| ۱۲-۳-۲- سنتز کمپلکس $[Cu(h6mb_2pn)]$ | ۵۱ | |

| صفحه | عنوان |
|---------------------------------|--|
| ۵۲ | - سنتز کمپلکس $[(Ph_3P)_2Cl_2Cu]_2Cu(C_3H_{10}N_2)_2 \cdot 2C_2H_3N$ |
| ۵۳ | - روش انجام واکنش‌های فتوشیمیایی |
| ۵۳ | - روش انجام آزمایشات ولتا متري چرخه‌اي |
| فصل سوم بحث و نتیجه گيري | |
| ۵۵ | - مقدمه |
| ۵۵ | - سنتز ليگاندها و کمپلکس‌ها |
| ۵۷ | - بررسی طيف‌های ارتعاشی (IR) ليگاندها و کمپلکس‌ها |
| ۶۰ | - بررسی طيف الکترونی ليگاندها و کمپلکس‌ها |
| ۶۱ | - بررسی طيف 1H -NMR ليگاندها و کمپلکس‌ها |
| ۶۱ | - طيف 1H -NMR nb_2cn ليگاند |
| ۶۲ | - طيف 1H -NMR db_2pn ليگاند |
| ۶۳ | - طيف 1H -NMR $h3mb_2pn$ ليگاند |
| ۶۳ | - طيف 1H -NMR $h5mb_2pn$ ليگاند |
| ۶۴ | - طيف 1H -NMR کمپلکس $[Ni(h6mb_2pn)]$ |
| ۶۵ | - ساختارشناسي ترکيبات با استفاده از پراش X نك بلور |
| ۶۵ | - ساختار بلوري ليگاند nb_2cn |
| ۶۸ | - ساختار بلوري ليگاند $h3mb_2pn$ |
| ۷۰ | - ساختار بلوري ليگاند $h5mb_2pn$ |
| ۷۴ | - ساختار بلوري کمپلکس $[(Ph_3P)_2Cl_2Cu]_2Cu(C_3H_{10}N_2)_2 \cdot 2C_2H_3N$ |
| ۷۵ | - ساختار بلوري کمپلکس $[Ni(h4mb_2pn)]$ |
| ۷۸ | - ساختار بلوري کمپلکس $[Cu(h5mb_2pn)].CH_3OH$ |
| ۸۱ | - بررسی رفتار فتوشیمیایی ليگاندها و کمپلکس‌ها |
| ۸۱ | - بررسی رفتار فتوشیمیایی ليگاند nb_2pn |
| ۸۳ | - بررسی رفتار فتوشیمیایی ليگاند nb_2cn |
| ۸۳ | - بررسی رفتار فتوشیمیایی ليگاند db_2pn |
| ۸۶ | - بررسی رفتار فتوشیمیایی ليگاند $h3mb_2pn$ |

| صفحه | عنوان |
|------|---|
| ۸۸ | - بررسی رفتار فتوشیمیایی لیگاند $h4mb_2pn$ |
| ۹۰ | - بررسی رفتار فتوشیمیایی لیگاند $h5mb_2pn$ |
| ۹۱ | - بررسی رفتار فتوشیمیایی کمپلکس $[Cu(h4mb_2pn)]$ |
| ۹۳ | - بررسی رفتار فتوشیمیایی کمپلکس $[Ni(h4mb_2pn)]$ |
| ۹۵ | - بررسی رفتار فتوشیمیایی کمپلکس $[Cu(h5mb_2pn).CH_3OH]$ |
| ۹۶ | - بررسی رفتار فتوشیمیایی کمپلکس $[Ni(h6mb_2pn)]$ |
| ۹۸ | - بررسی رفتار فتوشیمیایی کمپلکس $[Cu(nb_2pn)_2][CuI_2]$ |
| ۹۹ | - بررسی رفتار فتوشیمیایی کمپلکس $\{[(Ph_3P)_2Cl_2Cu\}_2Cu(C_3H_{10}N_2)_2\} 2C_2H_3N$ |
| ۱۰۰ | - بررسی رنگ پذیری حلal پوشی کمپلکس $[Cu(h4mb_2pn)]$ |
| ۱۰۱ | - بررسی رنگ پذیری حلal پوشی کمپلکس $[Ni(h4mb_2pn)]$ |
| ۱۰۲ | - بررسی ولتاوگرام چرخه‌ای کمپلکس‌ها |
| ۱۰۳ | - ولتاوگرام چرخه‌ای کمپلکس $[Cu(h4mb_2pn)]$ |
| ۱۰۴ | - ولتاوگرام چرخه‌ای کمپلکس $[Ni(h4mb_2pn)]$ |
| ۱۰۵ | - ولتاوگرام چرخه‌ای کمپلکس $[Ni(h6mb_2pn)]$ |
| ۱۰۶ | - ولتاوگرام چرخه‌ای کمپلکس $[Cu(h5mb_2pn).CH_3OH]$ |
| ۱۰۸ | - بررسی رفتار گرمایی کمپلکس‌ها |
| ۱۰۸ | - بررسی رفتار گرمایی کمپلکس $[Ni(h4mb_2pn)]$ |
| ۱۰۹ | - بررسی رفتار گرمایی کمپلکس $[Cu(h4mb_2pn)]$ |
| ۱۱۰ | - بررسی رفتار گرمایی کمپلکس $[Ni(h5mb_2pn)]$ |
| ۱۱۱ | - بررسی رفتار گرمایی کمپلکس $[Ni(h6mb_2pn)]$ |
| ۱۱۲ | - بررسی رفتار گرمایی کمپلکس $[Cu(h6mb_2pn)]$ |
| ۱۱۳ | نتیجه گیری |
| ۱۱۴ | پیوستها |
| ۱۱۰ | منابع و مأخذ |

فهرست شکل‌ها

| عنوان | | صفحه |
|--|----|------|
| شکل ۱-۱- کمپلکس‌های Zn و Yb با لیگاندهای بازشیف دودنده‌ای | ۳ | |
| شکل ۱-۲- بازشیف حاصل از پیریدوکسال فسفات و آمینواسیدها | ۳ | |
| شکل ۱-۳- بازهای شیف چهار دندانه با پل مرکزی اتیلن دی‌آمین | ۴ | |
| شکل ۱-۴- روش سنتز لیگاند سالن | ۵ | |
| شکل ۱-۵- رفتار کمپلکس سالن به عنوان کاتالیست | ۶ | |
| شکل ۱-۶- ساختار بلوری کمپلکس سالن مس | ۷ | |
| شکل ۱-۷- ساختار بلوری کمپلکس سالن نیکل | ۷ | |
| شکل ۱-۸- مدل فضا-پر(a) شبکه دو بعدی دو لبه از یک ماربیچ چپ گرد، یکی از زنجیره‌های ماربیچ با رنگ سیز مشخص شده است.(b) واحد لوزی شکل انفرادی | ۸ | |
| شکل ۱-۹- مهمترین لیگاندهای تشکیل دهنده کمپلکس‌های ماربیچی | ۹ | |
| شکل ۱-۱۰- تعییرات انرژی پایداری میدان لیگاند برای ساختارهای هشت وجهی و چهاروجهی | ۱۳ | |
| شکل ۱-۱۱- شکافتنگی پنج اوربیتال d اتم مرکزی در میدان‌های مختلف | ۱۷ | |
| شکل ۱-۱۲- ترکیب خطی اوربیتال‌های 5 لیگاند در کمپلکس هشت وجهی | ۱۹ | |
| شکل ۱-۱۳- ترازهای انرژی وربیتال ملکولی در یک کمپلکس هشت وجهی | ۲۰ | |
| شکل ۱-۱۴- شکافتنگی انرژی اوربیتال‌های d در میدان هشت وجهی | ۲۱ | |
| شکل ۱-۱۵- نمودار انرژی اوربیتال‌ها، نشان‌دهنده انواع انتقال‌های الکترونی در کمپلکس هشت وجهی | ۲۳ | |
| شکل ۱-۱۶- نمودار جابلانسکی برای سیستم d^6 کم اسپین | ۲۶ | |
| شکل ۱-۱۷- نمودار انرژی پتانسیل برای ایزومریزاسیون سیس-ترانس | ۳۰ | |
| شکل ۱-۱۸- مکانیزم تبدیل ایزومر سیس به ترانس | ۳۱ | |
| شکل ۱-۱۹- مکانیزم تبدیل ساختار اولی به ساختار کتونی | ۳۱ | |
| شکل ۱-۲۰- چهار نوع سلول اولیه در سیستم ارتورومبیک | ۳۵ | |
| شکل ۱-۲۱- محور تقارن ساده و محور حلزونی برای محور درجه دو | ۳۶ | |
| شکل ۱-۲۲- دو گروه فضایی تری‌کلینیک P1 و $\bar{P}1$ | ۳۶ | |
| شکل ۱-۲۳- ساختار بلوری کمپلکس مس | ۳۷ | |
| شکل ۱-۲۴- شمایی دستگاه فتوشیمی | ۴۰ | |
| شکل ۱-۲۵- سنتز لیگاند دو دندانه‌ای nb_2pn | ۴۱ | |

عنوان

صفحه

| | |
|----------|--|
| ۴۲ | شکل ۲-۳-۲- سنتز کمپلکس $[Cu(nb_2pn)_2][CuI_2]$ |
| ۴۳ | شکل ۲-۴-۲- سنتز لیگاند دودندهای nb_2cn |
| ۴۴ | شکل ۲-۵-۵- سنتز لیگاند دودندهای db_2pn |
| ۴۵ | شکل ۲-۶-۲- سنتز لیگاند چهار دندنهای $h3mb_2pn$ |
| ۴۶ | شکل ۲-۷-۲- سنتز کمپلکس $[Ni(h4mb_2pn)]$ |
| ۴۷ | شکل ۲-۸-۲- سنتز کمپلکس $[Cu(h4mb_2pn)]$ |
| ۴۸ | شکل ۲-۹-۲- سنتز کمپلکس $[Ni(h5mb_2pn)]$ |
| ۴۹ | شکل ۲-۱۰-۲- سنتز کمپلکس $[Cu(h5mb_2pn).CH_3OH]$ |
| ۵۰ | شکل ۲-۱۱-۲- سنتز کمپلکس $[Ni(h6mb_2pn)]$ |
| ۵۱ | شکل ۲-۱۲-۲- سنتز کمپلکس $[Cu(h6mb_2pn)]$ |
| ۵۲ | شکل ۲-۱۳-۲- ساختار کمپلکس $\{[(Ph_3P)_2Cl_2Cu\}_2Cu(C_3H_{10}N_2)_2\}$ |
| ۵۴ | شکل ۲-۱۴-۲- سل ولتامتری چرخه‌ای با یک الکترود کربن شیشه‌ای |
| ۵۷ | شکل ۳-۱-۳- ساختار لیگاند nb_2pn |
| ۶۲ | شکل ۳-۲-۳- ساختار لیگاند nb_2cn |
| ۶۲ | شکل ۳-۳-۳- ساختار لیگاند db_2pn |
| ۶۳ | شکل ۳-۴-۳- ساختار لیگاند $h3mb_2pn$ |
| ۶۴ | شکل ۳-۵-۳- ساختار لیگاند $h5mb_2pn$ |
| ۶۴ | شکل ۳-۶-۳- ساختار کمپلکس $[Ni(h4mb_2pn)]$ |
| ۶۶ | شکل ۳-۷-۳- دیاگرام ORTEP لیگاند nb_2cn |
| ۶۶ | شکل ۳-۸-۳- انباشتگی در لیگاند nb_2cn |
| ۶۷ | شکل ۳-۹-۳- زوایای دووجهی بین حلقه‌های بنزن در لیگاند nb_2cn |
| ۶۷ | شکل ۳-۱۰-۳- ساختار ماربیچی لیگاند nb_2cn |
| ۶۹ | شکل ۳-۱۱-۳- دیاگرام ORTEP لیگاند $h3mb_2pn$ |
| ۶۹ | شکل ۳-۱۲-۳- انباشتگی در لیگاند $h3mb_2pn$ |
| ۶۹ | شکل ۳-۱۳-۳- زاویه دووجهی بین حلقه‌های بنزن در لیگاند $h3mb_2pn$ |
| ۷۰ | شکل ۳-۱۴-۳- پیوند های هیدروژنی درون مولکولی در لیگاند $h3mb_2pn$ |
| ۷۲ | شکل ۳-۱۵-۳- دیاگرام ORTEP لیگاند $h5mb_2pn$ |

| | |
|--|----|
| شکل ۳-۱۶-۳ - انباستگی در لیگاند $h5mb_2pn$ | ۷۲ |
| شکل ۳-۱۷-۳ - زاویه دووجهی بین حلقه‌های بنزن در لیگاند $h5mb_2pn$ | ۷۳ |
| شکل ۳-۱۸-۳ - زاویه دووجهی بین حلقه‌های بنزن در لیگاند $h5mb_2pn$ | ۷۳ |
| شکل ۳-۱۹-۳ - پیوندهای هیدروژنی در لیگاند $h5mb_2pn$ | ۷۳ |
| شکل ۳-۲۰-۳ - دیاگرام ORTEP کمپلکس $[(Ph_3P)_2Cl_2Cu]_2Cu(C_3H_{10}N_2)_2$ $2C_2H_3N$ | ۷۵ |
| شکل ۳-۲۱-۳ - دیاگرام ORTEP کمپلکس $[Ni(h4mb_2pn)]$ | ۷۶ |
| شکل ۳-۲۲-۳ - انباستگی و پیوندهای هیدروژنی بین ملکولی در کمپلکس $[Ni(h4mb_2pn)]$ | ۷۷ |
| شکل ۳-۲۳-۳ - زاویه دووجهی بین حلقه‌های بنزن در کمپلکس $[Ni(h4mb_2pn)]$ | ۷۷ |
| شکل ۳-۲۴-۳ - برهمنش‌های $\pi-\pi$ در کمپلکس $[Ni(h4mb_2pn)]$ | ۷۷ |
| شکل ۳-۲۵-۳ - دیاگرام ORTEP کمپلکس $[Cu(h5mb_2pn)].CH_3OH$ | ۷۹ |
| شکل ۳-۲۶-۳ - انباستگی و پیوندهای هیدروژنی بین ملکول متانول در کمپلکس $[Cu(h5mb_2pn)]$ | ۷۹ |
| شکل ۳-۲۷-۳ - زاویه دووجهی بین حلقه‌های بنزن در کمپلکس $[Cu(h5mb_2pn)].CH_3OH$ | ۸۰ |
| شکل ۳-۲۸-۳ - پیوند هیدروژنی قوی بین ملکول متانول و اتم اکسیژن در کمپلکس $[Cu(h5mb_2pn)]$ | ۸۰ |
| شکل ۳-۲۹-۳ - طیف جذبی لیگاند nb_2pn در حلال تراهیدروفوران پس از تابش دهی در زمان‌های مختلف | |
| شکل ۳-۳۰-۳ - گذار ایزومری در اثر تابش نور UV در لیگاند nb_2pn | ۸۲ |
| شکل ۳-۳۱-۳ - طیف جذبی لیگاند nb_2cn در حلال کلروفورم پس از تابش دهی در زمان‌های مختلف | ۸۳ |
| شکل ۳-۳۲-۳ - طیف جذبی لیگاند db_2pn در حلال کلروفورم پس از تابش دهی در زمان‌های مختلف | ۸۴ |
| شکل ۳-۳۳-۳ - طیف خالص چهار ایزومر (D = syn-anti), (B = anti-syn), (A = syn-syn), (C = syn-anti) | ۸۵ |
| شکل ۳-۳۴-۳ - نمودار غلظت بر حسب زمان تابش دهی برای ملکول‌های ماده اولیه، حدواتر و محصول در لیگاند db_2pn | ۸۵ |
| شکل ۳-۳۵-۳ - گذار ایزومری در اثر تابش نور UV در لیگاند db_2pn | ۸۶ |
| شکل ۳-۳۶-۳ - طیف جذبی لیگاند $h3mb_2pn$ در حلال کلروفورم پس از تابش دهی در زمان‌های مختلف | ۸۷ |
| شکل ۳-۳۷-۳ - انتقال پروتون درون ملکولی حالت برانگیخته (ESIPT) | ۸۷ |
| شکل ۳-۳۸-۳ - گذار ایزومری در اثر تابش نور UV در لیگاند $h3mb_2pn$ | ۸۸ |
| شکل ۳-۳۹-۳ - طیف جذبی لیگاند $h4mb_2pn$ در حلال کلروفورم پس از تابش دهی در زمان‌های مختلف. | ۸۹ |

عنوان

صفحه

| | |
|---|-----|
| شکل ۳-۴۰-۳ - گذار ایزومری در اثر تابش نور UV در لیگاند h4mb ₂ pn | ۸۹ |
| شکل ۳-۴۱-۳ - اثر رزونانسی گروه متوكسی | ۸۹ |
| شکل ۳-۴۲-۳ - طیف جذبی لیگاند h5mb ₂ pn در حلال کلروفرم پس از تابش دهی در زمان‌های مختلف | ۹۰ |
| شکل ۳-۴۳-۳ - گذار ایزومری در اثر تابش نور UV در لیگاند h5mb ₂ pn | ۹۱ |
| شکل ۳-۴۴-۳ - طیف جذبی کمپلکس [Cu(h4mb ₂ pn)] در حلال تتراهیدروفوران پس از تابش دهی در زمان‌های مختلف | ۹۲ |
| شکل ۳-۴۵-۳ - طیف جذبی کمپلکس [Cu(h4mb ₂ pn)] در حلال کلروفرم پس از تابش دهی در زمان‌های مختلف | ۹۳ |
| شکل ۳-۴۶-۳ - طیف جذبی کمپلکس [Ni(h4mb ₂ pn)] در حلال تتراهیدروفوران پس از تابش دهی در زمان‌های مختلف | ۹۴ |
| شکل ۳-۴۷-۳ - طیف جذبی کمپلکس [Ni(h4mb ₂ pn)] در حلال کلروفرم پس از تابش دهی در زمان‌های مختلف | ۹۵ |
| شکل ۳-۴۸-۳ - طیف جذبی کمپلکس [Cu(h5mb ₂ pn).CH ₃ OH] در حلال کلروفرم پس از تابش دهی در زمان‌های مختلف | ۹۶ |
| شکل ۳-۴۹-۳ - طیف جذبی کمپلکس [Ni(h6mb ₂ pn)] در حلال تتراهیدروفوران پس از تابش دهی در زمان‌های مختلف | ۹۷ |
| شکل ۳-۵۰-۳ - طیف جذبی کمپلکس [Ni(h6mb ₂ pn)] در حلال کلروفرم پس از تابش دهی در زمان‌های مختلف | ۹۸ |
| شکل ۳-۵۱-۳ - طیف جذبی کمپلکس [Cu(nb ₂ pn) ₂][CuI ₂] در حلال استونیتریل پس از تابش دهی در زمان‌های مختلف | ۹۹ |
| شکل ۳-۵۲-۳ - طیف جذبی کمپلکس [(Ph ₃ P) ₂ Cl ₂ Cu] ₂ Cu(C ₃ H ₁₀ N ₂) ₂] 2C ₂ H ₃ N در حلال کلروفرم پس از تابش دهی در زمان‌های مختلف | ۱۰۰ |
| شکل ۳-۵۳-۳ - طیف الکترونی کمپلکس [Cu(h4mb ₂ pn)] در حلال‌های مختلف | ۱۰۱ |
| شکل ۳-۵۴-۳ - طیف الکترونی کمپلکس [Ni(h4mb ₂ pn)] در حلال‌های مختلف | ۱۰۲ |
| شکل ۳-۵۵-۳ - ولتاموگرام چرخه‌ای لیگاند h3mb ₂ pn | ۱۰۳ |
| شکل ۳-۵۶-۳ - ولتاموگرام چرخه‌ای کمپلکس [Cu(h4mb ₂ pn)] | ۱۰۴ |
| شکل ۳-۵۷-۳ - ولتاموگرام چرخه‌ای کمپلکس [Ni(h4mb ₂ pn)] | ۱۰۵ |

عنوان

صفحه

| | |
|--|-----|
| شکل ۳-۵۸-۳ - ولتاوموگرام چرخه‌ای کمپلکس [Ni(h ₆ mb ₂ pn)] | ۱۰۶ |
| شکل ۳-۵۹-۳ - ولتاوموگرام چرخه‌ای کمپلکس [Cu(h ₅ mb ₂ pn)].CH ₃ OH | ۱۰۷ |
| شکل ۳-۶۰-۳ - منحنی TG و DTG کمپلکس [Ni(h ₄ mb ₂ pn)] | ۱۰۸ |
| شکل ۳-۶۱-۳ - منحنی TG و DTG کمپلکس [Cu(h ₄ mb ₂ pn)] | ۱۰۹ |
| شکل ۳-۶۲-۳ - منحنی TG و DTG کمپلکس [Ni(h ₅ mb ₂ pn)] | ۱۱۰ |
| شکل ۳-۶۳-۳ - منحنی TG و DTG کمپلکس [Ni(h ₆ mb ₂ pn)] | ۱۱۱ |
| شکل ۳-۶۴-۳ - منحنی TG و DTG کمپلکس [Cu(h ₆ mb ₂ pn)] | ۱۱۲ |
| شکل ۴-۱- طیف IR لیگاند nb ₂ pn | ۱۱۴ |
| شکل ۴-۲- طیف IR کمپلکس [Cu(nb ₂ pn) ₂][CuI ₂] | ۱۱۴ |
| شکل ۴-۳- طیف IR لیگاند nb ₂ cn | ۱۱۵ |
| شکل ۴-۴- طیف IR لیگاند db ₂ pn | ۱۱۵ |
| شکل ۴-۵- طیف IR لیگاند h ₃ mb ₂ pn | ۱۱۶ |
| شکل ۴-۶- طیف IR لیگاند h ₄ mb ₂ pn | ۱۱۶ |
| شکل ۴-۷- طیف IR لیگاند h ₅ mb ₂ pn | ۱۱۷ |
| شکل ۴-۸- طیف IR لیگاند h ₆ mb ₂ pn | ۱۱۷ |
| شکل ۴-۹- طیف IR کمپلکس [Cu(h ₄ mb ₂ pn)] | ۱۱۸ |
| شکل ۴-۱۰- طیف IR کمپلکس [Ni(h ₄ mb ₂ pn)] | ۱۱۸ |
| شکل ۴-۱۱- طیف IR کمپلکس [Cu(h ₅ mb ₂ pn)].CH ₃ OH | ۱۱۹ |
| شکل ۴-۱۲- طیف IR کمپلکس [Ni(h ₅ mb ₂ pn)] | ۱۱۹ |
| شکل ۴-۱۳- طیف IR کمپلکس [Cu(h ₆ mb ₂ pn)] | ۱۲۰ |
| شکل ۴-۱۴- طیف IR کمپلکس [Ni(h ₆ mb ₂ pn)] | ۱۲۰ |
| شکل ۴-۱۵- طیف UV-vis لیگاند nb ₂ pn در حلال تتراهیدروفوران | ۱۲۱ |
| شکل ۴-۱۶- طیف UV-vis کمپلکس [Cu(nb ₂ pn) ₂][CuI ₂] در حلال تتراهیدروفوران | ۱۲۱ |
| شکل ۴-۱۷- طیف UV-vis لیگاند nb ₂ cn در حلال کلروفرم | ۱۲۲ |
| شکل ۴-۱۸- طیف UV-vis لیگاند h ₃ mb ₂ pn در حلال کلروفرم | ۱۲۲ |
| شکل ۴-۱۹- طیف UV-vis لیگاند h ₄ mb ₂ pn در حلال کلروفرم | ۱۲۳ |
| شکل ۴-۲۰- طیف UV-vis کمپلکس [Cu(h ₄ mb ₂ pn)] در حلال کلروفرم | ۱۲۳ |

عنوان

صفحه

- شکل ۴-۲۱-۴ - طیف UV-vis کمپلکس [Ni(h4mb₂pn)] در حلال کلروفرم ۱۲۴
- شکل ۴-۲۲-۴ - طیف UV-vis لیگاند h5mb₂pn در حلال کلروفرم ۱۲۴
- شکل ۴-۲۳-۴ - طیف UV-vis کمپلکس [Cu(h5mb₂pn).CH₃OH] در حلال کلروفرم ۱۲۵
- شکل ۴-۲۳-۴ - طیف UV-vis کمپلکس [Ni(h5mb₂pn)] در حلال کلروفرم ۱۲۵
- شکل ۴-۲۴-۴ - طیف UV-vis لیگاند h6mb₂pn در حلال کلروفرم ۱۲۶
- شکل ۴-۲۵-۴ - طیف UV-vis کمپلکس [Cu(h6mb₂pn)] در حلال کلروفرم ۱۲۶
- شکل ۴-۲۶-۴ - طیف UV-vis کمپلکس [Ni(h6mb₂pn)] در حلال کلروفرم ۱۲۶
- شکل ۴-۲۷-۴ طیف ¹H-NMR لیگاند nb₂cn ۱۲۷
- شکل ۴-۲۸-۴ طیف ¹H-NMR لیگاند nb₂cn (expand) ۱۲۷
- شکل ۴-۲۹-۴ طیف ¹H-NMR لیگاند db₂pn ۱۲۸
- شکل ۴-۳۰-۴ طیف ¹H-NMR لیگاند db₂pn (expand) ۱۲۸
- شکل ۴-۳۱-۴ طیف ¹H-NMR لیگاند h3mb₂pn ۱۲۹
- شکل ۴-۳۲-۴ طیف ¹H-NMR لیگاند h3mb₂pn (expand) ۱۲۹
- شکل ۴-۳۳-۴ طیف ¹H-NMR لیگاند h5mb₂pn ۱۳۰
- شکل ۴-۳۴-۴ طیف ¹H-NMR لیگاند h5mb₂pn (expand) ۱۳۰
- شکل ۴-۳۵-۴ طیف ¹H-NMR کمپلکس [Ni(h6mb₂pn)] ۱۳۱
- شکل ۴-۳۶-۴ - طیف جرمی لیگاند nb₂pn ۱۳۲
- شکل ۴-۳۷-۴ - طیف جرمی لیگاند db₂pn ۱۳۲

فهرست جداول‌ها

| عنوان | | صفحة |
|---|-----|------|
| جدول ۱-۱- حالت‌های اکسایش و شیمی فضایی مس | ۱۱ | |
| جدول ۲-۱- شدت نوار جذبی در کمپلکس‌های فلزات واسطه | ۲۴ | |
| جدول ۳-۱- فرکانس و شیوه‌های ارتعاشی مهم لیگاند nb ₂ pn | ۵۸ | |
| جدول ۳-۲- فرکانس و شیوه‌های ارتعاشی مهم لیگاند nb ₂ cn | ۵۸ | |
| جدول ۳-۳- فرکانس و شیوه‌های ارتعاشی مهم لیگاند db ₂ pn | ۵۸ | |
| جدول ۳-۴- فرکانس و شیوه‌های ارتعاشی مهم لیگاند h3mb ₂ pn | ۵۸ | |
| جدول ۳-۵- فرکانس و شیوه‌های ارتعاشی مهم لیگاند h4mb ₂ pn | ۵۹ | |
| جدول ۳-۶- فرکانس و شیوه‌های ارتعاشی مهم لیگاند h5mb ₂ pn | ۵۹ | |
| جدول ۳-۷- فرکانس و شیوه‌های ارتعاشی مهم لیگاند h6mb ₂ pn | ۵۹ | |
| جدول ۳-۸- فرکانس و شیوه‌های ارتعاشی مهم کمپلکس‌ها | ۶۰ | |
| جدول ۹-۳- مشخصات طیف الکترونی لیگاندها و کمپلکس‌ها | ۶۱ | |
| جدول ۱۰-۳- طول پیوند و زاویه پیوندهای انتخابی لیگاند nb ₂ cn | ۶۷ | |
| جدول ۱۱-۳- طول پیوند و زاویه پیوندهای انتخابی لیگاند h3mb ₂ pn | ۷۰ | |
| جدول ۱۲-۳- طول پیوندهای هیدروژنی در لیگاند h3mb ₂ pn | ۷۰ | |
| جدول ۱۳-۳- طول پیوند و زاویه پیوندهای انتخابی لیگاند h5mb ₂ pn | ۷۴ | |
| جدول ۱۴-۳- طول پیوند و زاویه پیوندهای انتخابی کمپلکس [{(Ph ₃ P) ₂ Cl ₂ Cu}] ₂ Cu(C ₃ H ₁₀ N ₂) ₂] | ۷۵ | |
| جدول ۱۵-۳- طول پیوندهای هیدروژنی در کمپلکس [{(Ph ₃ P) ₂ Cl ₂ Cu}] ₂ Cu(C ₃ H ₁₀ N ₂) ₂] | ۷۵ | |
| جدول ۱۶-۳- طول پیوند و زاویه پیوندهای انتخابی در کمپلکس [Ni(h4mb ₂ pn)] | ۷۸ | |
| جدول ۱۷-۳- طول پیوند و زاویه پیوندهای انتخابی در کمپلکس [Cu(h5mb ₂ pn)].CH ₃ OH | ۸۰ | |
| جدول ۱۸-۳- پیوند هیدروژنی در کمپلکس [Cu(h5mb ₂ pn)].CH ₃ OH | ۸۰ | |
| جدول ۱-۴- داده‌های بلور نگاری و پالایش ساختار لیگاند nb ₂ cn | ۱۳۳ | |
| جدول ۲-۴- مختصات اتم‌ها و پارامترهای جابه‌جایی ایزوتربوپی لیگاند nb ₂ cn | ۱۳۴ | |
| جدول ۳-۴- طول پیوند و زاویه پیوند های لیگاند nb ₂ cn | ۱۳۴ | |
| جدول ۴-۴- مختصات اتم‌های هیدروژن و پارامترهای جابه‌جایی ایزوتربوپی لیگاند nb ₂ cn | ۱۳۵ | |
| جدول ۴-۵- زاویه‌های پیچشی لیگاند nb ₂ cn | ۱۳۵ | |
| جدول ۴-۶- داده‌های بلور نگاری و پالایش ساختار لیگاند h3mb ₂ pn | ۱۳۶ | |

عنوان

صفحه

| | | |
|--|-----|------------|
| جدول ۷-۴- مختصات اتم ها و پارامترهای جابه جایی ایزوتropی لیگاند | ۱۳۷ | $h3mb_2pn$ |
| جدول ۸-۴- طول پیوند و زاویه پیوند های لیگاند | ۱۳۷ | $h3mb_2pn$ |
| جدول ۹-۴- مختصات اتم های هیدروژن و پارامتر های جابه جایی ایزوتropی لیگاند | ۱۳۸ | $h3mb_2pn$ |
| جدول ۱۰-۴- زاویه های پیچشی لیگاند | ۱۳۹ | $h3mb_2pn$ |
| جدول ۱۱-۴- پیوندهای هیدروژنی لیگاند | ۱۳۹ | $h3mb_2pn$ |
| جدول ۱۱-۴- داده های بلور نگاری و پالایش ساختار لیگاند | ۱۴۰ | $h5mb_2pn$ |
| جدول ۱۲-۴- مختصات اتم ها و پارامترهای جابه جایی ایزوتropی لیگاند | ۱۴۱ | $h5mb_2pn$ |
| جدول ۱۳-۴- طول پیوند و زاویه پیوند های لیگاند | ۱۴۱ | $h5mb_2pn$ |
| جدول ۱۴-۴- مختصات اتم های هیدروژن و پارامتر های جابه جایی ایزوتropی لیگاند | ۱۴۳ | $h5mb_2pn$ |
| جدول ۱۵-۴- زاویه های پیچشی لیگاند | ۱۴۴ | $h5mb_2pn$ |
| جدول ۱۶-۴- داده های بلور نگاری و پالایش ساختار کمپلکس [Nih ₄ mb ₂ pn] | ۱۴۵ | |
| جدول ۱۷-۴- مختصات اتم ها و پارامترهای جابه جایی ایزوتropی کمپلکس [Ni(h ₄ mb ₂ pn)] | ۱۴۶ | |
| جدول ۱۸-۴- طول پیوند و زاویه پیوند های کمپلکس [Ni(h ₄ mb ₂ pn)] | ۱۴۶ | |
| جدول ۱۹-۴- مختصات اتم های هیدروژن و پارامترهای جابه جایی ایزوتropی [Ni(h ₄ mb ₂ pn)] | ۱۴۷ | |
| جدول ۲۰-۴- زاویه های پیچشی کمپلکس [Ni(h ₄ mb ₂ pn)] | ۱۴۷ | |
| جدول ۲۱-۴- داده های بلور نگاری و پالایش ساختار کمپلکس [Cu(h ₅ mb ₂ pn)].CH ₃ OH | ۱۴۸ | |
| جدول ۲۲-۴- طول پیوند و زاویه پیوند های کمپلکس [Cu(h ₅ mb ₂ pn)].CH ₃ OH | ۱۴۹ | |

فصل اول

مقدمه و تئوری

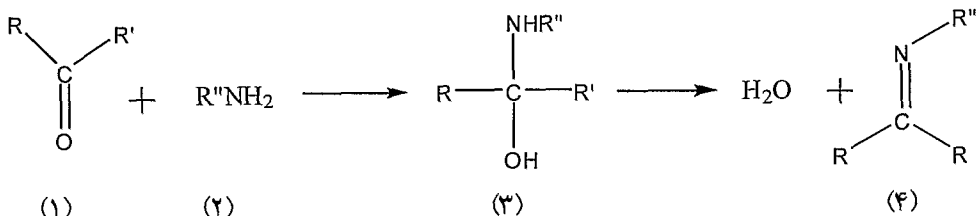
۱-۱- مقدمه

شیمی فلزات واسطه ارتباط وسیعی به شیمی ترکیبات کثوردیناسیون دارد. این ترکیبات که به کمپلکس‌ها نیز موسومند، نقش بسیار مهمی در زندگی امروزی ما دارند. مطالعه و بررسی آنها برای درک مفاهیم پیوند شیمیابی و آگاهی یافتن از قواعد و قوانین حاکم بر شیمی معدنی و فراگیری آن نقش بسزایی دارد. علاوه بر اهمیت کاربردی و اقتصادی این ترکیبات از نقطه نظر بررسی‌های نظری نیز دارای اهمیت زیادی هستند. برای سالیان دراز کمپلکس‌ها فقط مورد توجه شیمیدانان نظری و معدنی بودند، اما امروزه کاربرد مهم این ترکیبات بخصوص در زمینه درک فرایندهای زیستی مشخص شده است. تهیه و شناخت ترکیبات کثوردیناسیون همواره یکی از موضوعات مهم مورد بررسی در شیمی معدنی بوده است. سنتر این ترکیبات در آزمایشگاه هنوز هم به نوآوری و تلاش گسترده نیاز دارد.

۱-۱-۱- بازهای شیف و کمپلکس‌های آن‌ها

بازهای شیف^۱ و کمپلکس‌های آن‌ها به دلیل داشتن خواص کاتالیزوری، خاصیت کریستال مایع [۱]، خاصیت اپتیک غیر خطی^۲ [۲]، به عنوان مدلی برای آنزیم‌ها جهت بررسی ساختار، ماهیت و عملکرد آن‌ها در سیستم‌های بیولوژیکی [۳] و داشتن خواص دارویی مورد توجه شیمیدانان قرار گرفته‌اند [۴]. لذا سنتز و بررسی ویژگی‌های ساختاری و اسپکتروسکوپی آن‌ها نه تنها می‌تواند در توسعه بنیادی شیمی کثوردیناسیون مفید باشد، بلکه می‌تواند در بررسی عملکرد آن‌ها در سیستم‌های بیولوژیکی نیز مفید واقع شود و اهمیت فلزات مختلف را در سیستم‌های بیولوژیکی مشخص کند [۵].

از متراکم نمودن آمین‌های نوع اول با آلدیدها و کتون‌ها محصول‌هایی که با عنوان این شناخته شده‌اند به دست می‌آیند، که دارای پیوند دو گانه بین کربن و نیتروژن ($C=N$) می‌باشند. ضرورت دارد که حداقل یک گروه آریل به اتم کربن یا نیتروژن متصل شود، در غیر این صورت این ترکیبات به طور سریع تجزیه یا پلیمر می‌شوند. آمین‌های حاصل را به نام شیف که اولین بار آنها را گزارش کرد، باز شیف می‌نامند [۶]. رایج‌ترین روش تهیه باز شیف همان‌گونه که در واکنش تراکمی زیر بین (۱) و (۲) نشان داده شده است. با تشکیل حد وسط همی آمینال (۳) به راحتی صورت می‌گیرد.



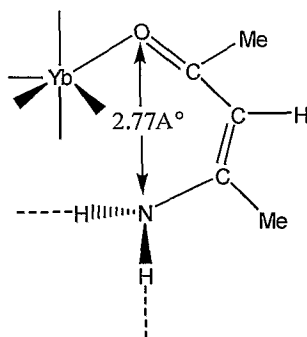
باید در نظر داشت که تعداد کمی از بازهای شیف که به طور معمول به عنوان لیگاند استفاده می‌شوند به صورت کمپلکس نشده تهیه و شناسایی شده‌اند. از این رو سنتز کمپلکس‌های فلزی از لیگاندهای باز شیف به طور گسترده‌ای در حال انجام است [۷].

۱-۲-۱- بازهای شیف دو دندانه‌ای (لیگاندهای با اتم دهنده N و O)

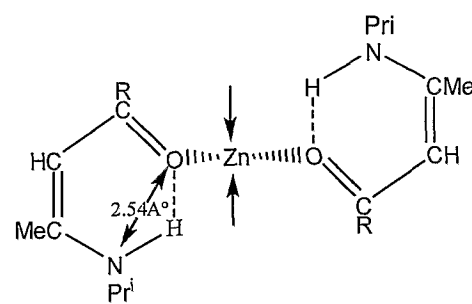
گروه وسیعی از بازهای شیف دو دندانه‌ای به عنوان لیگاندهای فلزی با گروه‌های دهنده N و O استفاده شده‌اند [۱۰-۸]. برای مثال، لیگاندهای دو دندانه‌ای مشتق شده از بتا-دی‌کتون‌ها و NH_2Pr^+ که تنها از راه اتم اکسیژن به Zn(II) کثوردینه می‌شوند و طبق شواهد طیفی IR، پیوند هیدروژنی درون ملکولی را حفظ می‌کنند. شکل (۱-۱).

¹ Schiff bases

² Nonlinear Optics (NLO)



(b-1-1)



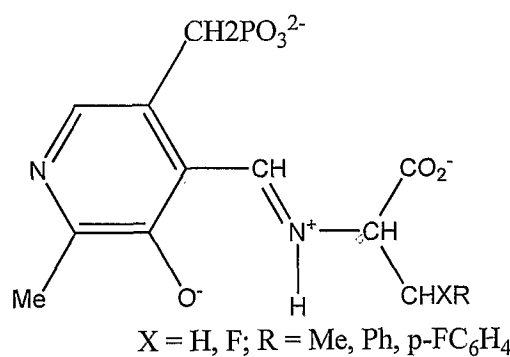
(a-1-1)

شکل ۱-۱- کمپلکس‌های Zn و Yb با لیگاند‌های بازشیف دودنده‌ای

استیل استون ایمین خنثی در شکل (b-1-1) به یون $\text{Yb}^{(III)}$ از راه اتم اکسیژن خود در کمپلکس کوئردنیه می‌شود، اما در این مورد هیچ پیوند هیدروژنی درون ملکولی یافت نمی‌شود. چون گروه NH_2 در پیوندهای هیدروژنی با اتم اکسیژن (acac) دیگر ملکول‌های کمپلکس در بلور شرکت دارد. در نتیجه طول O...N میزان 2.77 \AA افزایش می‌یابد، در مقایسه با باز شیف دیگر، شکل (a-1-1) که طول 2.54 \AA است. در اینجا فرم کتوآمین به انول ایمین ترجیح داده می‌شود.

۱-۱-۳- بازهای شیف سه دندانه‌ای

بسیاری از بازهای شیف سه دندانه‌ای به عنوان لیگاند‌های آنیونی دارای گروه‌های دهنده O^- , N_2O , NOS و NO_2 هستند [۱۴-۱۱]. بازهای شیف حاصل از پیریدوکسال فسفات و آمینواسیدها به عنوان حد واسطه‌ها در بسیاری از واکنش‌های مهم زیستی مانند کربوکسیل زدایی پیشنهاد شده‌اند. بازهای شیف حاصل از پیریدوکسال فسفات و آمینواسیدها به عنوان لیگاند‌های سه دندانه از راه نیتروژن ایمین، اکسیژن فنولی و یکی از اتم‌های اکسیژن کربوکسیلات عمل می‌کنند (شکل ۲-۱) [۱۵ و ۱۶].



شکل ۲-۱- باز شیف حاصل از پیریدوکسال فسفات و آمینواسیدها